Annls Limnol. 20 (3) 1984 : 199-202.

Michael Hubbard

Baetis cyrneus n. sp., Ephéméroptère nouveau de Corse (Baetidae)

A.G.B. Thomas[1]
G. Gazagnes[1]

Mots clés : Ephemeroptera, Baetidae, nouvelle espèce, Corse.

Description illustrée de la larve au dernier stade de *Baetis cyrneus* n.sp. Cette espèce, rencontrée en Corse, appartient au groupe *alpinus :* elle est comparée à cette dernière espèce et à *B. punicus* Thomas, Boumaiza et Soldán.

Baetis cyrneus sp. n., a new mayfly from Corsica (Baetidae).

Keywords : Ephemeroptera, Baetidae, new species, Corsica.

An illustrated description is given of the last-instar larva of *Baetis cyrneus* sp. n., captured in Corsica. This species belongs to the *alpinus* group : it is compared to the latter species and to *B. punicus* Thomas, Boumaiza et Soldán.

1. — Baetis cyrneus n. sp. : description

Larve au dernier stade.

Diagnose sommaire : espèce d'aspect général très voisin de celui de *B. alpinus ;* cependant coloration un peu plus contrastée (tergites 5 et 9 franchement plus clairs que les autres) et paracerque encore plus court ; paraproctes à aspect de crible.

La description ci-dessous est surtout comparative vis-à-vis des espèces du groupe *alpinus sensu stricto,* c'est-à-dire caractérisées par des écailles implantées dans des alvéoles sur les palpes maxillaires et des prosthecas franchement asymétriques : *B. alpinus* Pictet, 1843-45 et *B. punicus* Thomas, Boumaiza et Soldán, 1983[2].

Tête.

Traces d'insertions musculaires du crâne, et morphologie des antennes voisines de celles de *B. alpinus.*

Labre (*fig.* 1) : il diffère essentiellement de celui de *B. alpinus* par les grandes soies frontales, insérées sur un seul rang, en général sans chevauchement — même partiel — et donc moins nombreuses : 1 + 13 − 14, avec des extrêmes de 10 et 17. Ce labre, large et assez court (rapport largeur/longueur, toutes soies exclues, compris entre 1,55 et 1,65) est donc très proche de celui de *B. punicus,* mais les petites soies écailleuses proximales y sont plus développées.

Mandibules (*fig.* 2) : apex à denticulations arrondies, disposées du côté droit en deux groupes bien distincts. Prosthecas nettement asymétriques. Ces caractères sont communs aux trois espèces.

Maxilles : les palpes portent en général à l'apex deux types de formations chitineuses (*fig.* 3) : le plus souvent une écaille implantée dans un alvéole et une denticulation apparaissant comme un simple épaississement, plus rarement une écaille et deux denticulations ou encore deux écailles. L'utilisation d'un fort grossissement (600 à 1 000, immersion) peut être nécessaire pour distinguer leur région basale. L'apex du palpe maxillaire est donc morphologiquement plus proche de celui de *B. punicus* que de celui

1. Laboratoire d'Hydrobiologie, UA 695 du C.N.R.S., U.P.S., 118, route de Narbonne, F-31062 Toulouse Cedex, France.

2. La description de la larve de *B. nubecularis* Eaton, 1898, par M. Sartori (Museum de Lausanne) est actuellement sous presse.

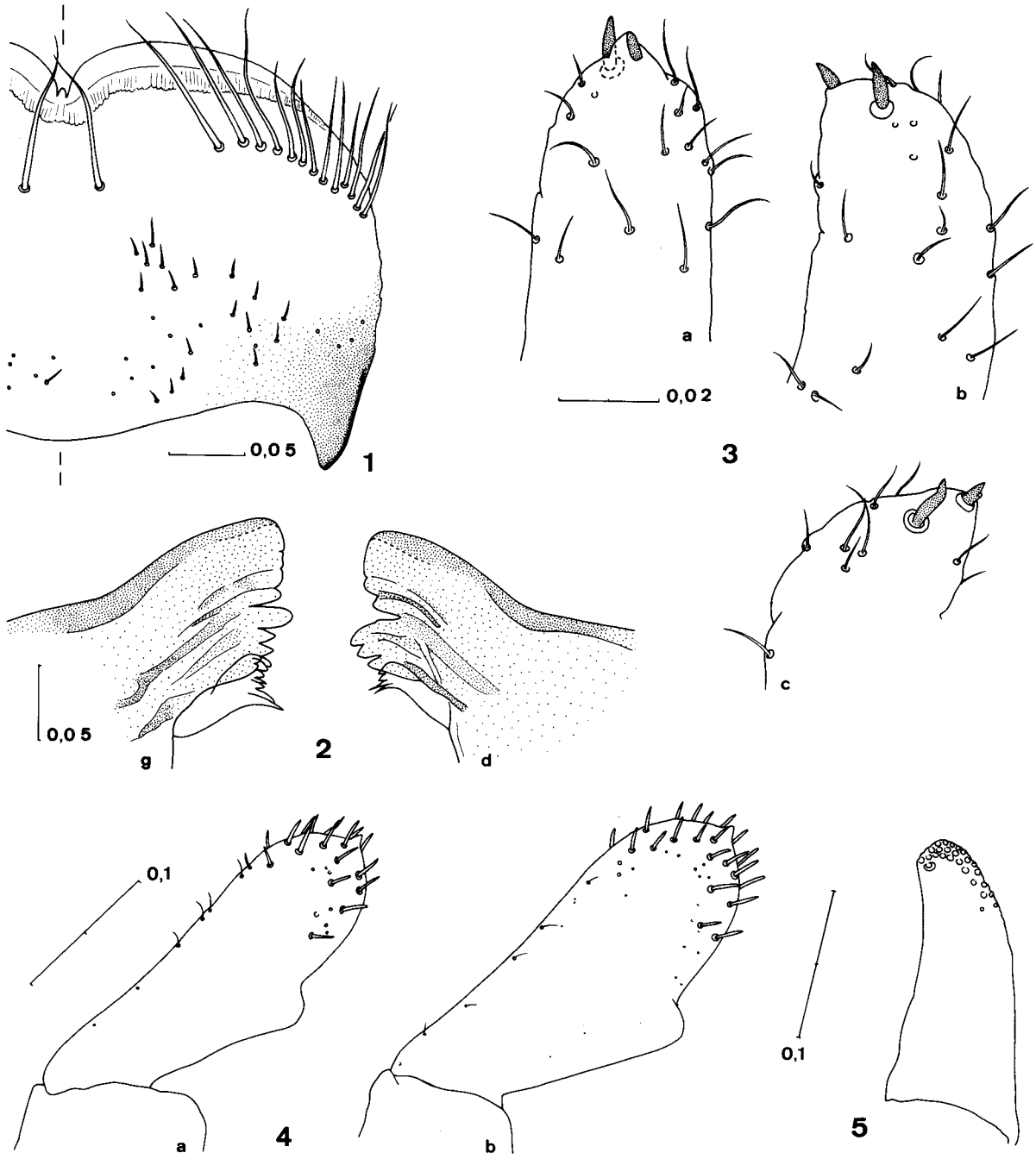

Fig. 1 à 5. — Larves de *Baetis cyrneus* n. sp. au dernier stade. Echelle en mm. 1 : labre. 2 : apex et prostheca des mandibules droite (d) et gauche (g). 3 a à c : apex du palpe maxillaire chez trois individus. 4 a et b : variation des 2° et 3° articles du palpe labial chez deux individus, vue ventrale. 5 : paraglosse, vue ventrale.

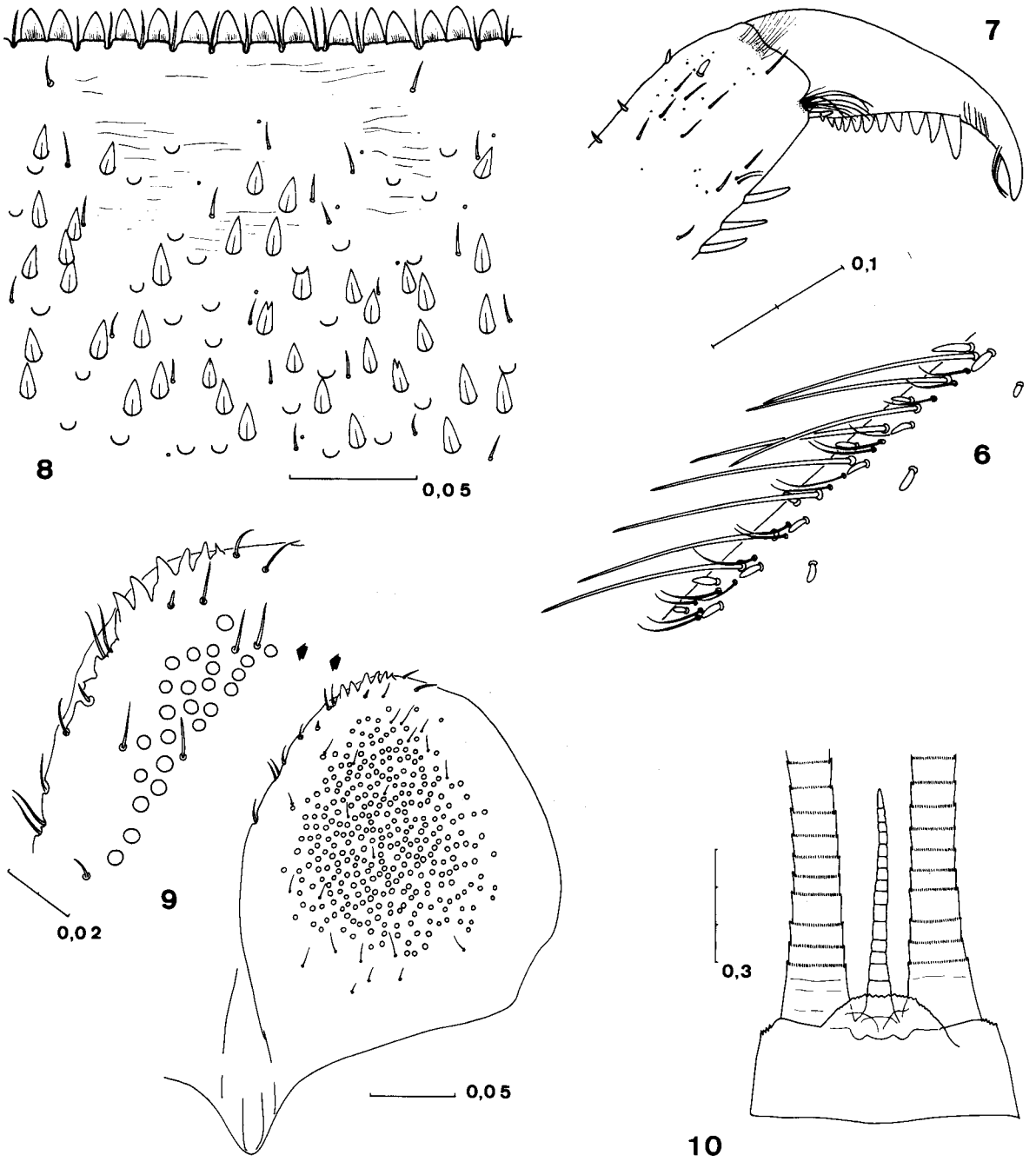

Fig. 6 à 10 — Larves de *Baetis cyrneus* n. sp. au dernier stade. Echelle en mm. 6 : bord postérieur du fémur, dans la région moyenne. 7 : griffe tarsale et denticulations. 8 : 6° tergite, bord postérieur et ornementation cuticulaire superficielle. 9 : paraprocte. 10 : paracerque et départ des cerques (individu ♀).

de *B. alpinus*, porteur seulement d'écailles (4 à 14 selon Müller-Liebenau 1969).

Labium : l'ensemble des articles 2 et 3 du palpe labial est long et étroit (*fig.* 4) ; les bords interne et externe de la base de l'article 3 apparaissent subrectilignes et parallèles.

Ainsi, chez les trois espèces, le palpe labial et le palpe maxillaire présentent-ils un gradient morphologique : *alpinus-punicus-cyrneus.*

Paraglosse (*fig.* 5) avec des soies antérieures relativement peu nombreuses, comme chez *B. alpinus*, mais à contour apical plus anguleux.

Thorax.

Coloration du pronotum et des pattes voisine de celle de *B. alpinus.*

Bord postérieur des fémurs (*fig.* 6) frangé de soies épaisses brusquement rétrécies à l'apex — comme chez *B. punicus* — et porteur de fortes écailles. Griffes tarsales (*fig.* 7) avec deux soies subapicales et, en moyenne, 11 denticulations (de 10 à 13).

Abdomen.

Coloration dorsale plus contrastée que chez *B. alpinus* et *B. punicus* : les tergites 5 et 9 sont très clairs, blanchâtres. Le bord postérieur des tergites (*fig.* 8) porte de larges denticulations biconvexes — en général plus ou moins émoussées —, régulièrement entremêlées de courtes soies. La surface, elle, est ornementée de nombreuses formations coniques, minces, assez longues et anguleuses à l'apex : ce caractère sépare nettement *B. cyrneus* des deux autres espèces, en particulier de *B. punicus.*

Les branchies rappellent beaucoup par leur forme celles de *B. alpinus ;* elles sont bordées d'un liséré de pigment foncé très net.

Paraproctes (*fig.* 9) avec des épines marginales non articulées, et le plus souvent aucune écaille sous-marginale ; sur la surface, de courtes soies fines et un grand nombre de traces punctiformes — de diamètre plus élevé, mais surtout beaucoup plus nombreuses que chez les deux autres espèces. Ceci confère à l'ensemble un aspect de « crible » très caractéristique, visible au microscope à faible grossissement et même à la loupe binoculaire.

Cerques assez clairs, brun gris jaunâtre, proportionnellement très longs (nettement plus longs que le corps, même chez la ♀). Paracerque (*fig.* 10) plutôt plus court que chez *B. alpinus* mais bien individualisé, de longueur en général comprise entre la largeur du 10e tergite abdominal et la moitié de cette dimension, et comptant de 10 à 25 articles sur le matériel examiné.

Taille.

Longueurs (mm) :
— du corps : 4,6 à 6,2 (♂), 5,3 à 8,0 (♀) ;
— des cerques : 6,3 à 7,9 (♂), 7,0 à 9,1 (♀) ;
— du paracerque : 0,3 à 0,4 (♂), 0,3 à 0,8 (♀).

En résumé, *B. cyrneus* se distingue des autres espèces du groupe *alpinus sensu stricto,* essentiellement par la morphologie de son labium (palpes en particulier) et par l'ornementation cuticulaire de ses tergites abdominaux et de ses paraproctes.

2. — Matériel examiné

10 larves, dont 9 au dernier stade, provenant :
— de la *Restonica à 1 360 m,* torrent émissaire du lac de Melo, le 7-VIII-1983 (2 ♂, 4 ♀ dont l'*holotype* ♂) ;
— du Timozzo à 1 000 m, torrent émissaire du lac Di l'Oriente et affluent de la Restonica, le 7-VIII-1983 (1 ♂, 3 ♀).

Travaux cités

Müller-Liebenau (I.). 1969. — Revision der europäischen Arten der Gattung *Baetis* Leach, 1815 (Insecta, Ephemeroptera). *Gewäss. Abwäss.*, 48-49 : 1-214.

Thomas (A.G.B.), Boumaiza (M.) et Soldán (T.). 1983. — *Baetis punicus* n. sp., Ephéméroptère nouveau de Tunisie (Baetidae). *Annls Limnol.*, 19 (2) : 107-111.